# Starkniederschlagshöhen und -spenden gemäß KOSTRA-DWD-2020

openko.de

## Rasterfeld 156092

(Zeile 156, Spalte 92)

### Regenspende und Bemessungsniederschlagswerte in Abhängigkeit von Wiederkehrzeit T und Dauerstufe D

| | | Wiederkehrzeit T | | | | | | | | | | | | | | | | | |
|---|---|---|---|---|---|---|---|---|---|---|---|---|---|---|---|---|---|---|---|
| **Dauerstufe D** | | **1 a** | | **2 a** | | **3 a** | | **5 a** | | **10 a** | | **20 a** | | **30 a** | | **50 a** | | **100 a** | |
| min | Std | mm | l / (s ha) | mm | l / (s ha) | mm | l / (s ha) | mm | l / (s ha) | mm | l / (s ha) | mm | l / (s ha) | mm | l / (s ha) | mm | l / (s ha) | mm | l / (s ha) |
| 5 | | 6,5 | 216,7 | 8,0 | 266,7 | 8,9 | 296,7 | 10,1 | 336,7 | 11,8 | 393,3 | 13,6 | 453,3 | 14,7 | 490,0 | 16,3 | 543,3 | 18,5 | 616,7 |
| 10 | | 8,4 | 140,0 | 10,3 | 171,7 | 11,5 | 191,7 | 13,0 | 216,7 | 15,2 | 253,3 | 17,5 | 291,7 | 19,0 | 316,7 | 21,0 | 350,0 | 23,8 | 396,7 |
| 15 | | 9,6 | 106,7 | 11,8 | 131,1 | 13,2 | 146,7 | 14,9 | 165,6 | 17,5 | 194,4 | 20,1 | 223,3 | 21,9 | 243,3 | 24,1 | 267,8 | 27,3 | 303,3 |
| 20 | | 10,6 | 88,3 | 13,0 | 108,3 | 14,5 | 120,8 | 16,4 | 136,7 | 19,2 | 160,0 | 22,1 | 184,2 | 24,0 | 200,0 | 26,5 | 220,8 | 30,0 | 250,0 |
| 30 | | 12,1 | 67,2 | 14,8 | 82,2 | 16,5 | 91,7 | 18,7 | 103,9 | 21,9 | 121,7 | 25,2 | 140,0 | 27,3 | 151,7 | 30,2 | 167,8 | 34,2 | 190,0 |
| 45 | | 13,7 | 50,7 | 16,8 | 62,2 | 18,7 | 69,3 | 21,2 | 78,5 | 24,8 | 91,9 | 28,6 | 105,9 | 31,0 | 114,8 | 34,2 | 126,7 | 38,8 | 143,7 |
| 60 | 1 | 15,0 | 41,7 | 18,3 | 50,8 | 20,4 | 56,7 | 23,2 | 64,4 | 27,1 | 75,3 | 31,2 | 86,7 | 33,9 | 94,2 | 37,4 | 103,9 | 42,4 | 117,8 |
| 90 | 1,5 | 16,9 | 31,3 | 20,8 | 38,5 | 23,1 | 42,8 | 26,2 | 48,5 | 30,7 | 56,9 | 35,3 | 65,4 | 38,4 | 71,1 | 42,3 | 78,3 | 48,0 | 88,9 |
| 120 | 2 | 18,5 | 25,7 | 22,7 | 31,5 | 25,2 | 35,0 | 28,6 | 39,7 | 33,5 | 46,5 | 38,6 | 53,6 | 41,9 | 58,2 | 46,2 | 64,2 | 52,4 | 72,8 |
| 180 | 3 | 20,9 | 19,4 | 25,6 | 23,7 | 28,5 | 26,4 | 32,4 | 30,0 | 37,9 | 35,1 | 43,6 | 40,4 | 47,3 | 43,8 | 52,2 | 48,3 | 59,2 | 54,8 |
| 240 | 4 | 22,8 | 15,8 | 27,9 | 19,4 | 31,1 | 21,6 | 35,3 | 24,5 | 41,3 | 28,7 | 47,5 | 33,0 | 51,6 | 35,8 | 56,9 | 39,5 | 64,6 | 44,9 |
| 360 | 6 | 25,7 | 11,9 | 31,5 | 14,6 | 35,1 | 16,3 | 39,8 | 18,4 | 46,7 | 21,6 | 53,7 | 24,9 | 58,3 | 27,0 | 64,3 | 29,8 | 72,9 | 33,8 |
| 540 | 9 | 29,0 | 9,0 | 35,6 | 11,0 | 39,7 | 12,3 | 45,0 | 13,9 | 52,7 | 16,3 | 60,6 | 18,7 | 65,8 | 20,3 | 72,6 | 22,4 | 82,3 | 25,4 |
| 720 | 12 | 31,6 | 7,3 | 38,8 | 9,0 | 43,2 | 10,0 | 49,0 | 11,3 | 57,4 | 13,3 | 66,0 | 15,3 | 71,7 | 16,6 | 79,1 | 18,3 | 89,7 | 20,8 |
| 1080 | 18 | 35,7 | 5,5 | 43,8 | 6,8 | 48,8 | 7,5 | 55,3 | 8,5 | 64,8 | 10,0 | 74,5 | 11,5 | 80,9 | 12,5 | 89,3 | 13,8 | 101,3 | 15,6 |
| 1440 | 24 | 38,9 | 4,5 | 47,7 | 5,5 | 53,2 | 6,2 | 60,3 | 7,0 | 70,6 | 8,2 | 81,2 | 9,4 | 88,2 | 10,2 | 97,3 | 11,3 | 110,3 | 12,8 |
| 2880 | 48 | 47,9 | 2,8 | 58,7 | 3,4 | 65,4 | 3,8 | 74,2 | 4,3 | 86,8 | 5,0 | 99,9 | 5,8 | 108,4 | 6,3 | 119,6 | 6,9 | 135,7 | 7,9 |
| 4320 | 72 | 54,0 | 2,1 | 66,2 | 2,6 | 73,8 | 2,8 | 83,7 | 3,2 | 98,0 | 3,8 | 112,7 | 4,3 | 122,4 | 4,7 | 135,0 | 5,2 | 153,1 | 5,9 |
| 5760 | 96 | 58,9 | 1,7 | 72,1 | 2,1 | 80,4 | 2,3 | 91,2 | 2,6 | 106,7 | 3,1 | 122,8 | 3,6 | 133,3 | 3,9 | 147,1 | 4,3 | 166,8 | 4,8 |
| 7200 | 120 | 62,9 | 1,5 | 77,1 | 1,8 | 85,9 | 2,0 | 97,5 | 2,3 | 114,1 | 2,6 | 131,3 | 3,0 | 142,5 | 3,3 | 157,2 | 3,6 | 178,3 | 4,1 |
| 8640 | 144 | 66,4 | 1,3 | 81,4 | 1,6 | 90,7 | 1,7 | 102,9 | 2,0 | 120,5 | 2,3 | 138,6 | 2,7 | 150,5 | 2,9 | 166,0 | 3,2 | 188,3 | 3,6 |
| 10080 | 168 | 69,5 | 1,1 | 85,2 | 1,4 | 95,0 | 1,6 | 107,7 | 1,8 | 126,1 | 2,1 | 145,1 | 2,4 | 157,5 | 2,6 | 173,8 | 2,9 | 197,1 | 3,3 |



Angaben in mm: Bemessungsniederschlagswerte h(n)
Angaben in l / (s ha): Regenspende R(n)

Datenbasis: KOSTRA-DWD-2020 des Deutschen Wetterdienstes, Stand 12/2022.
Für die Richtigkeit und Aktualität der Angaben wird keine Gewähr übernommen. Erstellt 01/2023.

# Starkniederschlagshöhen und -spenden gemäß KOSTRA-DWD-2020

openko.de

## Rasterfeld 156092

(Zeile 156, Spalte 92)

### Örtliche Unsicherheiten in Abhängigkeit von Wiederkehrzeit T und Dauerstufe D

| | | Wiederkehrzeit T | | | | | | | | |
|---|---|---|---|---|---|---|---|---|---|---|
| **Dauerstufe D** | | **1 a** | **2 a** | **3 a** | **5 a** | **10 a** | **20 a** | **30 a** | **50 a** | **100 a** |
| **min** | **Std** | **± %** | **± %** | **± %** | **± %** | **± %** | **± %** | **± %** | **± %** | **± %** |
| 5 | | 14 | 16 | 16 | 17 | 18 | 19 | 19 | 20 | 20 |
| 10 | | 17 | 19 | 20 | 21 | 22 | 23 | 23 | 23 | 24 |
| 15 | | 18 | 20 | 21 | 22 | 23 | 24 | 24 | 25 | 26 |
| 20 | | 18 | 20 | 21 | 23 | 24 | 25 | 25 | 26 | 26 |
| 30 | | 18 | 21 | 22 | 23 | 24 | 25 | 25 | 26 | 27 |
| 45 | | 18 | 20 | 21 | 22 | 24 | 25 | 25 | 26 | 26 |
| 60 | 1 | 17 | 20 | 21 | 22 | 23 | 24 | 24 | 25 | 26 |
| 90 | 1,5 | 16 | 18 | 19 | 21 | 22 | 23 | 23 | 24 | 25 |
| 120 | 2 | 15 | 17 | 18 | 20 | 21 | 22 | 22 | 23 | 24 |
| 180 | 3 | 14 | 16 | 17 | 18 | 19 | 20 | 21 | 21 | 22 |
| 240 | 4 | 13 | 15 | 16 | 17 | 18 | 19 | 20 | 20 | 21 |
| 360 | 6 | 12 | 14 | 15 | 16 | 17 | 18 | 18 | 19 | 19 |
| 540 | 9 | 12 | 13 | 14 | 15 | 16 | 16 | 17 | 17 | 18 |
| 720 | 12 | 11 | 13 | 13 | 14 | 15 | 16 | 16 | 17 | 17 |
| 1080 | 18 | 12 | 12 | 13 | 13 | 14 | 15 | 15 | 16 | 16 |
| 1440 | 24 | 12 | 12 | 13 | 13 | 14 | 14 | 15 | 15 | 16 |
| 2880 | 48 | 14 | 14 | 14 | 14 | 14 | 14 | 15 | 15 | 15 |
| 4320 | 72 | 16 | 15 | 15 | 15 | 15 | 15 | 15 | 15 | 16 |
| 5760 | 96 | 17 | 16 | 16 | 16 | 16 | 16 | 16 | 16 | 16 |
| 7200 | 120 | 19 | 17 | 17 | 17 | 17 | 16 | 16 | 17 | 17 |
| 8640 | 144 | 20 | 18 | 18 | 17 | 17 | 17 | 17 | 17 | 17 |
| 10080 | 168 | 21 | 19 | 19 | 18 | 18 | 18 | 18 | 18 | 18 |

### Parameter für abweichende T und D

**Lokationsparameter ξ (Xi)**

15,11218586

**Skalenparameter α (Alpha)**

4,74258845

**Formparameter κ (Kappa)**

-0,1

**1. Koutsoyiannis-Parameter θ (Theta)**

0,01286813

**2. Koutsoyiannis-Parameter η (Eta)**

0,7019735

Parameter für dauerstufenübergreifende Extremwertschätzung nach KOUTSOYIANNIS et al. 1998.

Siehe auch Anwendungshilfe zu KOSTRA-DWD-2020 des Deutschen Wetterdienstes.



Unsicherheiten beziehen sich auf
Bemessungsniederschlagswerte h(n) und Regenspenden R(n) auf Seite 1

Datenbasis: KOSTRA-DWD-2020 des Deutschen Wetterdienstes, Stand 12/2022.
Für die Richtigkeit und Aktualität der Angaben wird keine Gewähr übernommen. Erstellt 01/2023.

# Starkniederschlagshöhen und -spenden gemäß KOSTRA-DWD-2020

## Rasterfeld 156092

(Zeile 156, Spalte 92)

**Übersichtskarte des Rasterfeldes 156092, M 1 : 100 000**

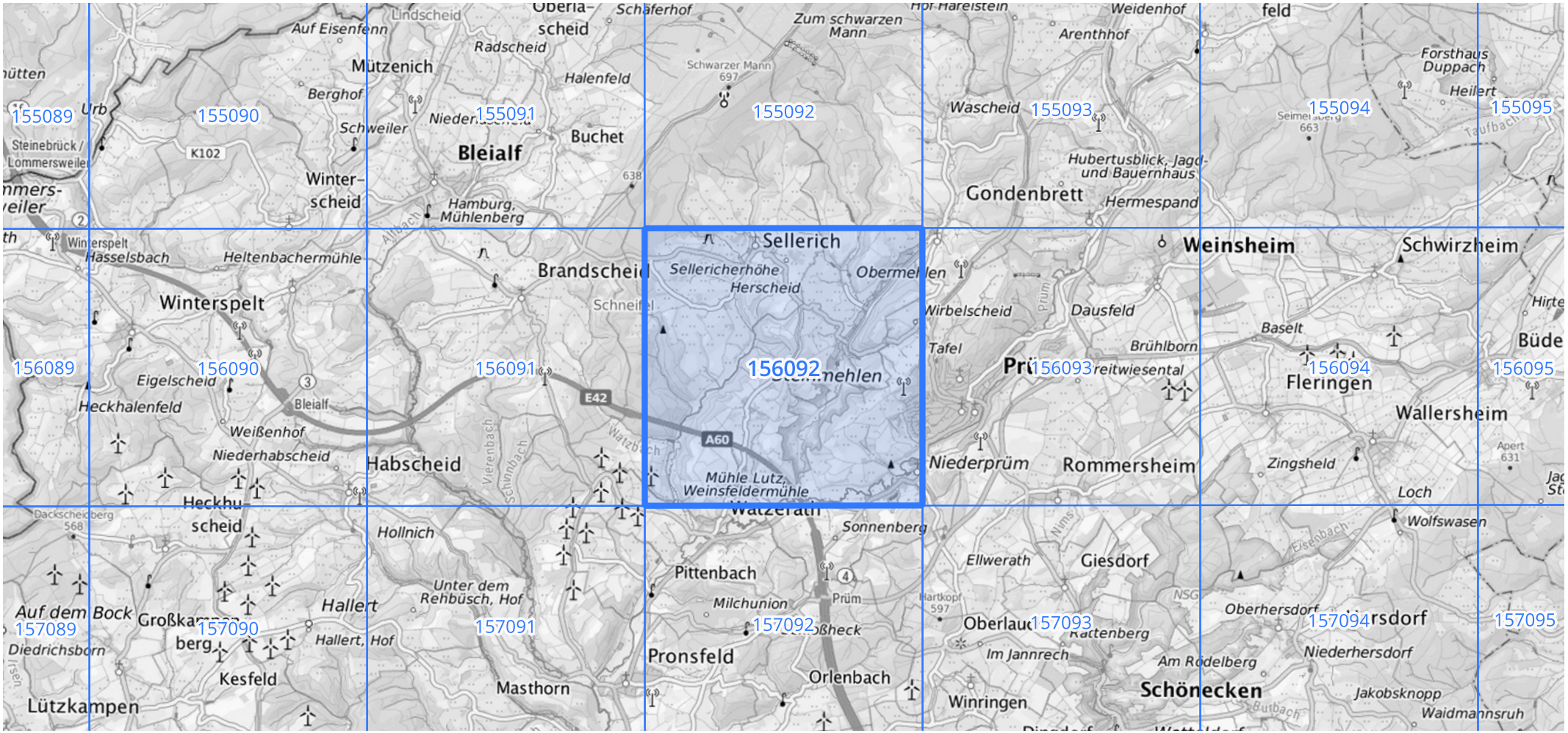




Quelle Rasterdaten: KOSTRA-DWD-2020 des Deutschen Wetterdienstes, Stand 12/2022.

Kartendarstellung: © Bundesamt für Kartographie und Geodäsie (2023), Datenquellen: https://sgx.geodatenzentrum.de/web_public/gdz/datenquellen/Datenquellen_TopPlusOpen.html

Für die Richtigkeit und Aktualität der Angaben wird keine Gewähr übernommen. Erstellt 01/2023.